

## АСТРОНОМИЯ

УДК 521.14

## О ПРЕДСТАВЛЕНИИ ГРАВИТАЦИОННОГО ПОТЕНЦИАЛА НЕКОТОРЫХ МОДЕЛЬНЫХ ТЕЛ\*

Э. Д. Кузнецов<sup>1</sup>, К. В. Холшевников<sup>2,3</sup>, В. Ш. Шайдуллин<sup>2,4</sup><sup>1</sup> Уральский федеральный университет,

Российская Федерация, 620002, Екатеринбург, ул. Мира, 19

<sup>2</sup> Санкт-Петербургский государственный университет,

Российская Федерация, 199034, Санкт-Петербург, Университетская наб., 7-9

<sup>3</sup> Институт прикладной астрономии РАН,

Российская Федерация, 191187, Санкт-Петербург, наб. Кутузова, 10

<sup>4</sup> Главная (Пулковская) астрономическая обсерватория РАН,

Российская Федерация, 196140, Санкт-Петербург, Пулковское шоссе, 65-1

Наиболее употребительным представлением гравитационного потенциала компактного тела  $T$  во внешнем пространстве в сферических координатах  $r, \theta, \lambda$  служит ряд Лапласа по сферическим функциям  $Y_n(\theta, \lambda)$ . Для тел нерегулярной структуры известна оценка чебышёвской нормы (максимум модуля функции на сфере):  $\langle Y_n \rangle \leq Cn^{-5/2}$ ,  $C = \text{const}$ ,  $n \geq 1$ . В работе получено явное выражение  $Y_n(\theta, \lambda)$  для нескольких модельных тел. Во всех случаях (за исключением одного) справедлива указанная оценка  $\langle Y_n \rangle$  при точном показателе  $5/2$ . В одном случае, где тело  $T$  касается объемлющей  $T$  сферы,  $\langle Y_n \rangle$  убывают значительно быстрее. Именно,  $\langle Y_n \rangle \leq Cn^{-5/2}p^n$ ,  $C = \text{const}$ ,  $n \geq 1$ . Величина  $p < 1$  равна расстоянию от начала координат до ребра поверхности  $T$ , выраженному в радиусах объемлющей сферы. Точность показателя  $5/2$  в общем случае подтверждена также на примерах тел, более или менее напоминающих реальные небесные тела. Библиогр. 16 назв. Ил. 6.

*Ключевые слова:* гравитационный потенциал, ряд Лапласа, скорость сходимости.

**Введение.** Будем рассматривать гравитационный потенциал  $V$  компактного тела  $T$  во внешнем пространстве в сферических координатах  $r, \theta, \lambda$ . Для представления этого потенциала в [1–5] предлагается ряд Лапласа

$$V(r, \theta, \lambda) = \frac{M}{R} \sum_{n=0}^{\infty} \left(\frac{R}{r}\right)^{n+1} Y_n(\theta, \lambda). \quad (1)$$

Здесь  $M$  — масса  $T$ ,  $R$  — масштабный множитель,  $Y_n$  — безразмерная сферическая функция; постоянная тяготения принята равной единице. В общем случае сфери-

\*Работа выполнена при финансовой поддержке Постановления № 211 Правительства Российской Федерации (контракт № 02.А03.21.0006), РФФИ (грант 14-02-00804) и Программы проведения фундаментальных исследований СПбГУ по приоритетным направлениям (грант 6.37.341.2015).

© Санкт-Петербургский государственный университет, 2016

ческая функция зависит от  $2n + 1$  параметров (коэффициентов Стокса). Разработаны и применяются на практике эффективные методы определения коэффициентов Стокса по спутниковым измерениям [6–8]. В случае осевой симметрии выполняется  $Y_n(\theta, \lambda) \equiv Y_n(\theta) = c_n P_n(\cos \theta)$ , и остается лишь один параметр  $c_n$ . Как обычно,  $P_n$  обозначает многочлен Лежандра со стандартной нормировкой  $P_n(1) = 1$ . Формула (1) принимает вид

$$V(r, \theta) = \frac{M}{R} \sum_{n=0}^{\infty} c_n \left(\frac{R}{r}\right)^{n+1} P_n(\cos \theta). \quad (2)$$

Как принято в теоретических исследованиях, за  $R$  примем радиус объемлющей сферы, содержащей  $T$  внутри себя и имеющей с  $T$  хотя бы одну общую точку.

Скорость сходимости ряда (1) существенно зависит от гладкости распределения масс в теле  $T$ . Чем выше гладкость, тем быстрее сходится ряд, как это имеет место в теории приближения функций отрезками рядов [9–11]. Правда, в нашем случае понятие гладкости определяется довольно сложно [12]. Так, плотность может испытывать разрывы даже при пересечении поверхностей равной плотности, лишь бы сами они были достаточно гладкими. В то же время наличие ребер поверхности  $\partial T$  даже однородного тела  $T$  катастрофически снижает гладкость распределения масс, поскольку теряет гладкость  $\partial T$ , которую можно рассматривать как поверхность равной плотности.

Для приложений одним из наиболее интересных классов тел служит класс  $\mathcal{T}$  компактных тел с ограниченной интегрируемой плотностью  $\varrho(r, \theta, \lambda)$ , имеющей равномерно ограниченную вариацию вдоль любой окружности с центром в начале координат. Все реальные небесные тела принадлежат этому классу. Для тел  $T \in \mathcal{T}$  известна оценка [12]

$$\langle Y_n \rangle \leq \frac{C}{n^{5/2}}. \quad (3)$$

Через  $C$  здесь и ниже обозначены различные постоянные, зависящие от свойств плотности  $\varrho$ ,  $\langle \cdot \rangle$  — чебышёвская норма (максимум модуля функции на сфере). Мы считаем  $n \geq 1$ , так как  $Y_0$  тождественно равно единице.

Заметим, что впервые подобная оценка (с делителем  $n^2$  вместо  $n^{5/2}$ ) получена М. С. Яров-Яровым [13].

В осесимметричном случае имеем

$$\langle Y_n \rangle = |c_n|. \quad (4)$$

Оценка (3) точна в следующем смысле. Существует тело  $T \in \mathcal{T}$  такое, что при некотором  $C$  справедливо неравенство (3), но при любом фиксированном  $\sigma > 5/2$  выполняется

$$\sup n^\sigma \langle Y_n \rangle = \infty. \quad (5)$$

Несколько подтверждающих примеров приведено в [12]. В настоящей статье мы расширим список примеров, по-прежнему ограничиваясь однородными телами вращения, для которых справедливо (4). В этих модельных примерах (для первых четырех коэффициенты Стокса  $c_n$  взяты из [12]) тела слабо напоминают реальные планеты и спутники. Однако затем из них как из элементов мы строим более реалистичные фигуры.

**1. Полушар в системе отсчета с началом в центре шара.** Для четных положительных  $n$  имеем  $c_n = 0$ . Для нечетных  $n$  справедливо

$$c_n = 3(-1)^{\frac{n-1}{2}} \frac{(n-2)!!}{(n+3)!!}.$$

Применяя формулу Валлиса, получим

$$|c_n| \sim \frac{3\sqrt{2/\pi}}{n^{5/2}}. \quad (6)$$

**2. Шаровой сектор в системе отсчета с началом в вершине сектора.** Обозначим угол полураствора сектора через  $\alpha$ . Тогда будем иметь

$$c_n = \frac{-3}{(1 - \cos \alpha)(n + 3)} P_{n1}(\cos \alpha).$$

Здесь  $P_{nk}$  определены в Приложении вместе с асимптотикой (16), из которой вытекает

$$c_n \sim \frac{-3\sqrt{2/\pi}\sqrt{\sin \alpha}}{(1 - \cos \alpha)n^{5/2}} \cos \left[ \left( n + \frac{1}{2} \right) \alpha + \frac{\pi}{4} \right]. \quad (7)$$

Из последовательности косинусов при любом  $\alpha$  можно выделить последовательность, отделенную от нуля, что доказывает точность оценок (3).

**Замечание.** Формула (6) вытекает из (7) и приводится в силу ее простоты.

**3. Цилиндр в системе отсчета с началом в его центре и осью  $z$ , направленной по оси симметрии.** Обозначим  $a$  радиус основания,  $2b$  высоту цилиндра (см. рис. 1;  $A_2A_3 = a$ ,  $OA_2 = b$ ,  $OA_3 = R = \sqrt{a^2 + b^2}$ ,  $\angle A_2OA_3 = \alpha$ ). Тогда для нечетных  $n$  будем иметь  $c_n = 0$ , а для четных  $n$  —

$$c_n = -\frac{2R^3}{a^2b(n+1)} P_{n+2,1} \left( \frac{b}{R} \right).$$

Учитывая обозначение через  $\alpha$  угла  $A_2OA_3$ , представим последнюю формулу в виде

$$c_n = -\frac{2}{(n+1)\sin^2 \alpha \cos \alpha} P_{n+2,1}(\cos \alpha).$$

С учетом асимптотики (16) получим

$$c_n \sim -\frac{2\sqrt{2/\pi}}{n^{5/2}\sin^3 \alpha \cos \alpha} \cos \left[ \left( n + \frac{5}{2} \right) \alpha + \frac{\pi}{4} \right].$$

**4. Конус в системе отсчета с началом в его вершине.** Обозначим через  $\alpha$  угол полураствора конуса. Тогда будем иметь

$$c_n = -\frac{6}{(n+3)\sin^2 \alpha} P_{n+1,1}(\cos \alpha),$$

откуда следует

$$c_n \sim -\frac{6}{n^{5/2}\sin^3 \alpha} \cos \left[ \left( n + \frac{3}{2} \right) \alpha + \frac{\pi}{4} \right].$$

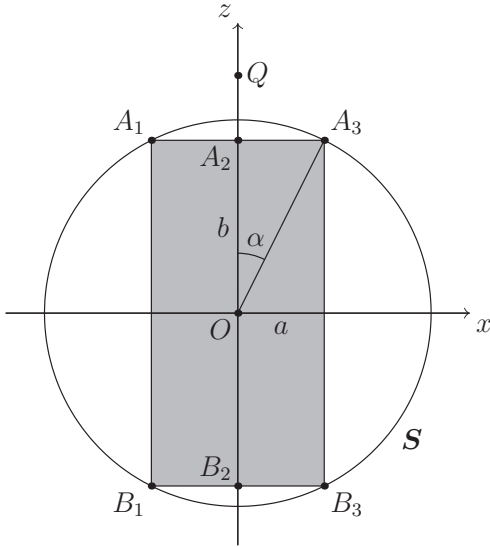


Рис. 1. Сечение цилиндра плоскостью, проходящей через ось симметрии  $z$ .

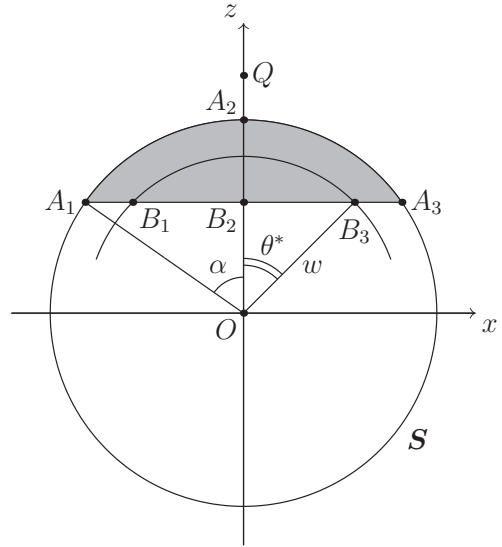


Рис. 2. Сечение шарового сегмента плоскостью, проходящей через ось симметрии  $z$ .

**5. Шаровой сегмент в различных системах отсчета.** Рассмотрим шаровой сегмент  $T$  с радиусом  $a$  и углом полураствора  $\alpha$ ,  $0 < \alpha \leq \pi/2$ . Изучим ряд Лапласа  $T$  в системах координат с осью  $z$  по оси симметрии, но с различными положениями начала отсчета.

**5.1. Система отсчета с началом в центре соответствующего шара.** На рис. 2 представлено сечение  $T$  плоскостью, проходящей через ось симметрии ( $OA_1 = OA_2 = OA_3 = a$ ,  $\angle A_1OA_2 = \alpha$ ;  $OB_2 = a \cos \alpha$ ); при фиксированном  $w = OB_1 = OB_3$  угол  $\theta$  меняется от 0 до  $\theta^*$ ,  $\cos \theta^* = (a/w) \cos \alpha$ . Постоянные Стокса вычислены в [14]:

$$c_n = \frac{3}{2(2 + \cos \alpha) \sin^4(\alpha/2)} P_{n+1,2}(\cos \alpha). \quad (8)$$

Используя (16), найдем асимптотику

$$c_n \sim \frac{6}{(2 + \cos \alpha)n^{5/2}} \sqrt{\frac{\cos^3(\alpha/2)}{\pi \sin^5(\alpha/2)}} \cos \left[ \left( n + \frac{3}{2} \right) \alpha + \frac{3\pi}{4} \right].$$

**5.2. Система отсчета с началом, сдвинутым вверх.** Пусть начало координат сдвинуто вверх на расстояние  $b > 0$  (см. рис. 3;  $OO_1 = b$ ,  $R = O_1A_1 = \sqrt{a^2 - 2ab \cos \alpha + b^2}$ ). Объемлющая сфера  $S_1$  проходит через точки  $A_1, A_3$ . Величину  $c_n$  не удается выразить явно через  $n, \alpha, a, b$ . Однако в [14] формулы (3) и (5) для  $T$  доказаны, чего достаточно для наших целей.

**5.3. Система отсчета с началом, сдвинутым вниз.** Пусть начало координат сдвинуто вниз на расстояние  $b > 0$  (см. рис. 4). В этом случае  $O_2O = b$ ,  $R_0 = O_2A_1 = \sqrt{a^2 + 2ab \cos \alpha + b^2}$ ,  $R = a + b$ ,  $R > R_0$ . Объемлющая сфера  $S_2$  проходит через точку  $A_2$ ; проходящая через  $A_1, A_3$  окружность с центром в  $O_2$  представляет сечение границы области сходимости ряда Лапласа  $S^*$ .

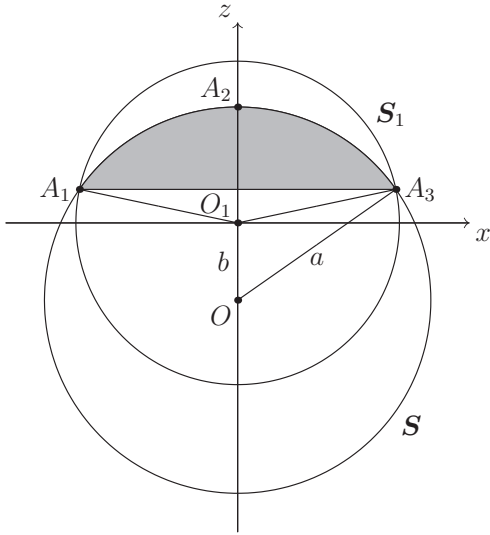


Рис. 3. Сечение шарового сегмента в системе отсчета  $O_1$ .

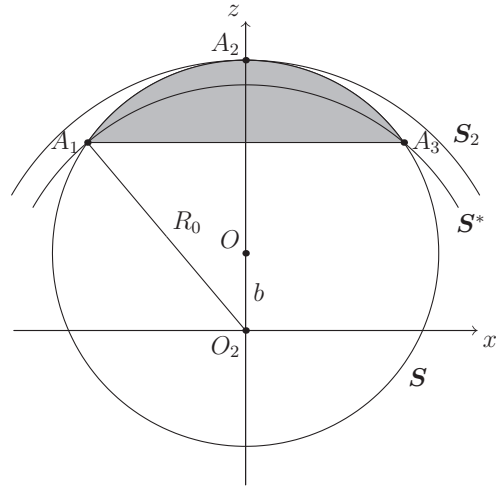


Рис. 4. Сечение шарового сегмента в системе отсчета  $O_2$ .

В [14] получена оценка, существенно более сильная по сравнению с (3):

$$\langle Y_n \rangle \leq \frac{C}{n^{5/2}} p^n, \quad (9)$$

где обозначено

$$p = \frac{\sqrt{a^2 + 2ab \cos \alpha + b^2}}{a + b} < 1.$$

Границей сходимости ряда Лапласа  $S^*$  служит сфера с центром  $O_2$ , проходящая через точки  $A_1, A_3$ . Заметим, что на рисунках изображены сечения сегмента и сфер. В пространстве точкам  $A_1, A_3$  отвечает ребро сегмента, так что сфера и сегмент имеют общую окружность.

**6. Сегментированный шар.** Выше исследованы тела, слабо напоминающие реальные планеты и спутники. Построим более реалистичные фигуры из сегментов одинакового радиуса  $a$ . В этом пункте используется система отсчета с началом в центре порождающего шара.

Пусть  $T_1$  — отражение  $T$  относительно плоскости экватора, южный сегмент. Гравитационный потенциал  $T_1$  в точке с декартовыми координатами  $x, y, z$  совпадает с потенциалом  $T_1$  в точке  $x, y, -z$ . Поэтому коэффициенты Стокса  $c_n$  для  $T_1$  совпадают с таковыми для  $T$ , помноженными на  $(-1)^n$ . Вместо (8) получаем для  $T_1$  при  $n \geq 2$

$$M c_n = 2(-1)^n \pi a^3 \rho P_{n+1,2}(\cos \alpha). \quad (10)$$

Здесь мы учитываем, что при объединении тел, расположенных внутри шара  $r \leq R$ , складываются гармоники  $M Y_n$ , а не  $Y_n$ .

Пусть  $T_2$  — объединение северных сегментов с параметрами  $\alpha_i, \rho_i$  и южных сегментов с параметрами  $\alpha'_i, \rho'_i, i = 1, \dots, K, i' = 1, \dots, K'$ . Одно из чисел  $K, K'$  может равняться нулю, и тогда соответствующая сумма в выражении для  $c_n$  (см. ниже)

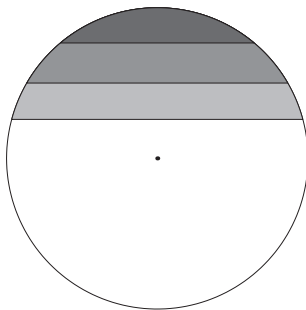


Рис. 5. Сечение тела  $T_2$  при  $K = 3, K' = 0$ .

считается равной нулю. Не умаляя общности, считаем последовательности  $\alpha_i$  и  $\alpha'_{i'}$  возрастающими. На рис. 5 изображено тело  $T_2$  при  $K = 3, K' = 0$ .

Поскольку сегменты вложены друг в друга, фактически в северном полушарии имеется один сегмент с углом полураствора  $\alpha_K$ , а в южном — с углом  $\alpha'_{K'}$ . Плотность в северном полушарии при движении к экватору принимает последовательно значения  $\varrho_1 + \dots + \varrho_K, \varrho_2 + \dots + \varrho_K, \dots, \varrho_K$ . Аналогична ситуация в южном полушарии при движении к экватору. Поэтому некоторые значения  $\varrho_i, \varrho'_{i'}$  могут быть отрицательными при сохранении положительной плотности тела  $T_2$ . Заметим, что  $T_2$  — неоднородный шар, если справедливо  $\alpha_K = \alpha'_{K'} = \pi/2$ .

По аддитивности потенциала гармонические коэффициенты  $T_2$  при  $n \geq 2$  равны

$$c_n = \frac{2\pi a^3}{M} \left[ \sum_{i=1}^K \varrho_i P_{n+1,2}(\cos \alpha_i) + (-1)^n \sum_{i'=1}^{K'} \varrho'_{i'} P_{n+1,2}(\cos \alpha'_{i'}) \right]. \quad (11)$$

Рассмотрим некоторые частные случаи описанной конструкции.

Пусть  $T_3$  представляет собой  $T_2$  при симметрии северного и южного полушарий, т. е. справедливо  $K = K', \alpha_i = \alpha'_{i'}, \varrho_i = \varrho'_{i'}$ . Тогда обе суммы в (11) одинаковы. Поэтому для нечетных  $n$  будем иметь  $c_n = 0$ , а для четных  $n \geq 2$  —

$$c_n = \frac{4\pi a^3}{M} \sum_{i=0}^K \varrho_i P_{n+1,2}(\cos \alpha_i). \quad (12)$$

Пусть  $T_4$  — бочкообразное однородное тело плотности  $\varrho$ , получающееся вырезанием из шара северного сегмента полураствора  $\alpha$  и южного полураствора  $\alpha'$  (рис. 6).

Тело  $T_4$  получается добавлением к шару плотности  $\varrho$  тела  $T_2$  при  $K = K' = 1$  и  $\varrho_1 = \varrho'_1 = -\varrho$ . Если один из сегментов отсутствует, вместо бочки получаем купол. Поскольку все гармоники шара (за исключением нулевой) исчезают, приходим при  $n \geq 2$  к равенствам

$$c_n = \frac{2\pi a^3 \varrho}{M} [P_{n+1,2}(\cos \alpha) + (-1)^n P_{n+1,2}(\cos \alpha')]. \quad (13)$$

Если бочка симметрична, т. е. имеем  $\alpha = \alpha'$ , нечетные гармоники исчезают, а четные равны

$$c_n = -\frac{4\pi a^3 \varrho}{M} P_{n+1,2}(\cos \alpha). \quad (14)$$

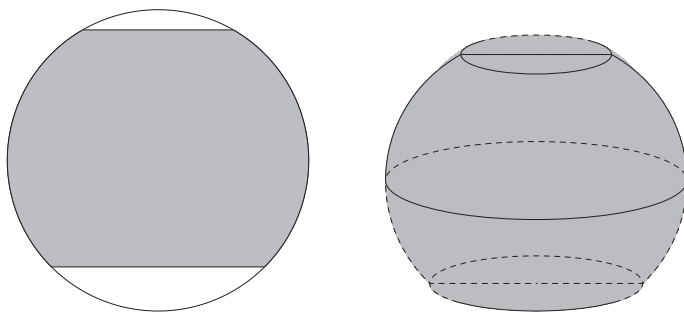


Рис. 6. Тело  $T_4$  (справа) и его сечение (слева).

**Заключение.** Мы исследовали скорость сходимости ряда Лапласа нескольких модельных тел: полушар, шаровой сектор, цилиндр, конус, шаровой сегмент, сегментированный шар. Во всех случаях (за одним исключением) скорость убывания  $\langle Y_n \rangle$  описывается *неулучшаемой* оценкой (3). Важную роль здесь играет фигура  $S$  — пересечение границы  $\partial T$  тела  $T$  и объемлющей сферы  $S$ .

В примерах 1, 2, 5.1 фигура  $S$  состоит из части сферы  $S$  положительной площади; граница  $S$  представляет собой ребро поверхности  $\partial T$ . К этому же классу тел можно отнести и сегментированный шар, ребрами которого можно считать границы сегментов с разной плотностью.

В примерах 3, 4, 5.2 фигура  $S$  состоит из кривых, лежащих на сфере  $S$  и представляющих собой ребра поверхности  $\partial T$ .

Исключением служит пример 5.3, в котором  $\langle Y_n \rangle$  убывают существенно быстрее согласно (9). В этом случае  $S$  — это одна точка, в которой  $\partial T$  касается  $S$ , и в окрестности которой поверхность  $\partial T$  аналитична. Интересно, что область сходимости ряда (1) — лежащая внутри  $S$  сфера  $S^*$ , радиус которой равен расстоянию до ребра поверхности  $\partial T$ . Таким образом, и здесь сфера сходимости  $S^*$  определяется ребром поверхности  $\partial T$ , как и в предыдущих случаях.

Остался неисследованным случай, когда  $S$  состоит из конечного числа точек  $A_k$ , в окрестности которых  $\partial T$  лежит внутри конуса с вершиной  $A_k$  с осью, проходящей через начало отсчета и углом полураствора, меньшим  $\pi/2$ .

Модельные тела — полушар, шаровой сектор, цилиндр, конус, шаровой сегмент — слабо напоминают реальные планеты и спутники. Сегментированный шар является более реалистичной фигурой для представления гравитационного потенциала небесных тел.

## ПРИЛОЖЕНИЕ

1. Производящие функции. На произведении отрезка  $-1 \leq x \leq 1$  и круга  $|z| < 1$  справедливы разложения

$$(1 - 2xz + z^2)^{-1/2} = \sum_{n=0}^{\infty} P_n(x)z^n,$$

$$(1 - 2xz + z^2)^{1/2} = 1 - xz - \sum_{n=1}^{\infty} P_{n1}(x)z^{n+1},$$

$$(1 - 2xz + z^2)^{3/2} = 1 - 3xz + \frac{3}{2}(x^2 + 1)z^2 + \left(\frac{1}{2}x^3 - \frac{3}{2}x\right)z^3 + 3 \sum_{n=2}^{\infty} P_{n2}(x)z^{n+2}. \quad (15)$$

Здесь  $P_{n0} = P_n$  — многочлен Лежандра,  $P_{nk}$  — последовательные интегралы

$$P_{nk}(x) = \int_{-1}^x P_{n,k-1}(y) dy.$$

2. Асимптотика  $P_{nk}$  определяется выражением

$$P_{nk}(\cos \theta) = \sqrt{\frac{2}{\pi}} \frac{\sin^{k-1/2} \theta}{n^{k+1/2}} \left\{ \cos \left[ \left( n + \frac{1}{2} \right) \theta + \left( k - \frac{1}{2} \right) \frac{\pi}{2} \right] + \frac{r_k(n, \theta)}{n \sin^{k+1} \theta} \right\}, \quad (16)$$

где  $r_k(n, \theta)$  ограничены при  $0 \leq \theta \leq \pi$ ,  $n \geq 2$ .

Формулы (15), (16) содержатся в [15, 16].

### Литература

1. *Дубошин Г. Н.* Теория притяжения. М.: Физматлит, 1961. 288 с.
2. *Каула У.* Спутниковая геодезия. М.: Мир, 1970. 172 с.
3. *Бурша М.* Основы космической геодезии. Часть 2. М.: Недра, 1975. 280 с.
4. *Грушинский Н. П.* Теория фигуры Земли. М.: Наука, 1976. 512 с.
5. *Кондратьев В. П.* Теория потенциала и фигуры равновесия. М.; Ижевск: Изд. ИКИ, 2003.
6. *Vatrt V.* Truncation error due to geopotential model EGM96 // *Studia Geoph. et Geod.* 1999. Vol. 43. P. 223–227.
7. *Pavlis N. K., Holmes S. A., Kenyon S. C., Factor J. K.* An Earth Gravitational Model to Degree 2160: EGM2008, presented at the 2008 General Assembly of the European Geosciences Union. Vienna, Austria, April 13–18, 2008.
8. *Петровская М. С., Вериков А. Н.* Построение моделей гравитационного поля на основе спутниковых измерений производных от потенциала тяготения // *Космические исследования.* 2014. Т. 52, № 2. С. 176–184.
9. *Натансон И. П.* Конструктивная теория функций. М.; Л.: Государственное издательство технико-теоретической литературы, 1949. 688 с.
10. *Гобсон Е. В.* Теория сферических и эллипсоидальных функций. М.: ИЛ, 1952. 476 с.
11. *Сегё Г.* Ортогональные многочлены. М.: ФМ, 1962. 500 с.
12. *Антонов В. А., Тymoшкова Е. И., Холшевников К. В.* Введение в теорию ньютоновского потенциала. М.: Наука, 1988. 270 с.
13. *Яров-Яровой М. С.* О силовой функции притяжения планеты и ее спутника. С. 259–277 // *Проблемы движения искусственных небесных тел.* М.: Изд. АН СССР, 1963, 295 с.
14. *Холшевников К. В., Шайдулин В. Ш.* О гравитационном потенциале шарового сегмента // *Вестн. С.-Петербург. ун-та. Сер. 1. Математика. Механика. Астрономия.* 2015. Т. 2(60). Вып. 1. С. 157–163.
15. *Антонов В. А., Холшевников К. В., Шайдулин В. Ш.* Об оценке производной многочлена Лежандра // *Вестн. С.-Петербург. ун-та. Сер. 1. Математика. Механика. Астрономия.* 2010. Вып. 4. С. 3–9.
16. *Холшевников К. В., Шайдулин В. Ш.* О свойствах интегралов от многочлена Лежандра // *Вестн. С.-Петербург. ун-та. Сер. 1. Математика. Механика. Астрономия.* 2014. Т. 1(59). Вып. 1. С. 55–67.

Статья поступила в редколлегию 14 октября 2015 г.

### Сведения об авторах

*Кузнецов Эдуард Дмитриевич* — доктор физико-математических наук, заведующий кафедрой, eduard.kuznetsov@urfu.ru

*Константин Владиславович Холшевников* — доктор физико-математических наук, профессор, kvk@astro.spbu.ru

*Вахит Шамильевич Шайдулин* — кандидат физико-математических наук, доцент, shvak@yandex.ru

# ON THE REPRESENTATION OF THE GRAVITATIONAL POTENTIAL OF SEVERAL MODEL BODIES

Eduard D. Kuznetsov<sup>1</sup>, Konstantin V. Kholshchevnikov<sup>2,3</sup>, Vakhit Sh. Shaidulin<sup>2,4</sup>

<sup>1</sup> Ural Federal University, ul. Mira, 19, Ekaterinburg, 620002, Russian Federation; eduard.kuznetsov@urfu.ru

<sup>2</sup> St. Petersburg State University, Universitetskaya nab., 7–9, St. Petersburg, 199034, Russian Federation; kvk@astro.spbu.ru

<sup>3</sup> Institute of Applied Astronomy RAS, nab. Kutuzova, 10, St. Petersburg, 191187, Russian Federation; kvk@astro.spbu.ru, shvak@yandex.ru

<sup>4</sup> Main (Pulkovo) Observatory RAS, Pulkovskoe chaussee, 65/1, St. Petersburg, 196140, Russian Federation; shvak@yandex.ru

Laplace series with respect to spherical functions  $Y_n(\theta, \lambda)$  represents now a most popular form of the gravitational potential representation for a compact body  $T$  in the outer space in spherical coordinates  $r, \theta, \lambda$ . There exists a well-known estimate  $\langle Y_n \rangle \leq Cn^{-5/2}$ ,  $C = \text{const}$ ,  $n \geq 1$  of the Chebyshevian norm (maximum of the modulus) for bodies of irregular structure. In the present paper an explicit representation of  $Y_n(\theta, \lambda)$  for several model bodies is obtained. The indicated estimate  $\langle Y_n \rangle$  is valid *under the exact exponent* 5/2 for all cases except one. If the segment touches the enveloping sphere, then  $\langle Y_n \rangle$  decreases much faster. Namely,  $\langle Y_n \rangle \leq Cn^{-5/2}p^n$ ,  $C = \text{const}$ ,  $n \geq 1$ . The quantity  $p < 1$  equals to the distance from the origin of coordinates to the edge of the segment expressed in radii of the enveloping sphere. The exactness of exponent 5/2 is valid in common case by examples of bodies which more or less reminiscent of real celestial bodies. Refs 16. Figs 6.

*Keywords:* gravitational potential, Laplace series, rate of convergence.

## References

1. Duboshin G. N., *Theory of attraction* (Fizmatlit, Moscow, 1961) [in Russian].
2. Kaula W., *Theory of satellite geodesy* (Waltham, Toronto, London, Blaisdell Publ. Co., 1966).
3. Bursa M., *Základy kosmické geodézie* **2** (Praha, 1970).
4. Grushinskiy N. P., *Theory of the Earth figure* (Nauka, Moscow, 1976) [in Russian].
5. Kondratyev B. P., *Potential theory and figures of equilibrium* (SRI Publ. H., Moscow, Izhevsk, 2003) [in Russian].
6. Vátrt V., “Truncation error due to geopotential model EGM96”, *Studia Geoph. et Geod.* **43**, 223–227 (1999).
7. Pavlis N. K., Holmes S. A., Kenyon S. C., Factor J. K., *An Earth Gravitational Model to Degree 2160: EGM2008, presented at the 2008 General Assembly of the European Geosciences Union* (Vienna, Austria, April 13–18, 2008).
8. Petrovskaya M. S., Vershkov A. N., “The Construction of Gravitational Field Models on the Basis of Satellite Measurements of Gravitational Potential Derivatives”, *Cosmic Research* **52**(2), 166–174 (2014).
9. Natanson I. P., *Constructive function theory, I, II* (New York, Frederick Ungar Publishing Co., 1964–1965).
10. Hobson E. W., *The Theory of Spherical and Ellipsoidal Harmonics* (Cambridge, Cambridge Univ. Press, 1931).
11. Szegő G., *Orthogonal polynomials* **23** (AMS Colloquium publ., 1975).
12. Antonov V. A., Timoshkova E. I., Kholshchevnikov K. V., *Introduction to the Theory of Newtonian Potential* (Nauka, Moscow, 1988) [in Russian].
13. Yarov-Yarovoï M. S., “On the force-function of the attraction of a planet and its satellite”, *Problems of Motion of Artificial Celestial Bodies. Acad. Sci.* (USSR Press, Moscow, 1963) [in Russian].
14. Kholshchevnikov K. V., Shaidulin V. Sh., “On the gravitational potential of a spherical segment”, *Vestnik St. Petersburg University: Mathematics* **48**(1), 49–54 (2015).
15. Antonov V. A., Kholshchevnikov K. V., Shaidulin V. Sh., “Estimating the derivative of the Legendre polynomial”, *Vestnik St. Petersburg University: Mathematics* **43**(4), 191–197 (2010).
16. Kholshchevnikov K. V., Shaidulin V. Sh., “On properties of integrals of the Legendre polynomial”, *Vestnik St. Petersburg University: Mathematics* **47**(1), 28–38 (2014).

**Для цитирования:** Кузнецов Э. Д., Холшевников К. В., Шайдулин В. Ш. О представлении гравитационного потенциала некоторых модельных тел // Вестник Санкт-Петербургского университета. Серия 1. Математика. Механика. Астрономия. 2016. Т. 3(61). Вып. 3. С. 489–497. DOI: 10.21638/11701/spbu01.2016.317

**For citation:** Kuznetsov E. D., Kholshchevnikov K. V., Shaidulin V. Sh. On the representation of the gravitational potential of several model bodies. *Vestnik of Saint Petersburg University. Series 1. Mathematics. Mechanics. Astronomy*, 2016, vol. 3(61), issue 3, pp. 489–497. DOI: 10.21638/11701/spbu01.2016.317